

УДК 004.942:62-978

Т. С. Панасюк; А. А. Лещук, д-р техн. наук, В. В. Лысаковский, канд. техн. наук,  
С. А. Ивахненко, член-корр. НАН Украины, В. А. Каленчук

Институт сверхтвердых материалов им. В.Н. Бакуля НАН Украины, г. Киев

## МОДЕЛИРОВАНИЕ ТЕМПЕРАТУРНЫХ ПОЛЕЙ В ШЕСТИПУАНСОННОМ АППАРАТЕ ВЫСОКОГО ДАВЛЕНИЯ ПРИ ИЗМЕНЕНИИ ТЕМПЕРАТУРЫ ОКРУЖАЮЩЕЙ СРЕДЫ

Проведено компьютерное моделирование распределения температуры в шестипуансонном АВД и установлено влияние на него температуры окружающей среды. Полученные данные показывают, что изменение температуры воздуха от 5 до 35 °C изменяет температуру в отдельных точках камеры высокого давления на 20–70 °C, а вертикальный перепад температуры в ростовом объёме изменяется на 6 °C. Эти результаты прошли экспериментальную проверку и позволяют корректировать программу нагревания ростового объёма с учётом температуры окружающей среды.

**Ключевые слова:** монокристалл, алмаз, аппарат высокого давления, шестипуансонный аппарат, температура, компьютерное моделирование.

Благодаря уникальным физическим и химическим свойствам высококачественных кристаллов алмаза потребность в их производстве постоянно возрастает. В настоящее время наиболее эффективным способом выращивания крупных кристаллов алмаза является метод температурного градиента, который эффективно адаптирован к шестипуансонным аппаратам высокого давления (АВД) китайского производства [1; 2].

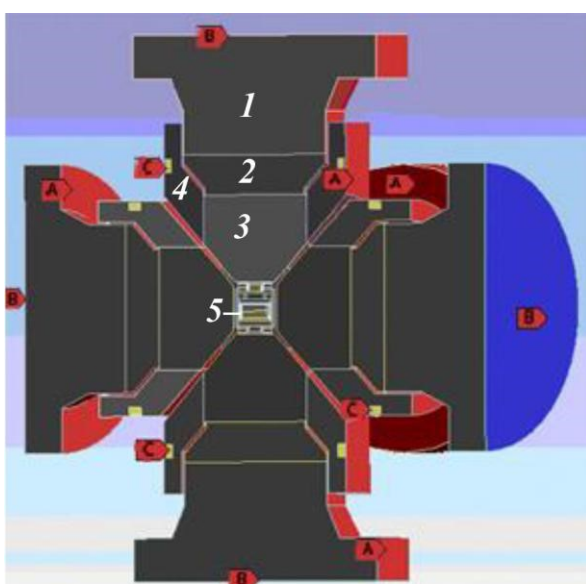


Рис.1. Шестипуансонный АВД CS-VII в разрезе плоскостью вертикальной симметрии: 1 – опорная плита; 2 – подкладная плита; 3 – пулансон; 4 – охлаждающее-скрепляющее кольцо; 5 – камера высокого давления

теплопроводности: на участках, где поверхность аппарата контактирует с воздухом (A на рис. 1), задавали экспериментально измеренную температуру, коррелирующую с температурой окружающей

Экспериментальное определение температуры внутри ростового объёма АВД затруднительно из-за невозможности размещения в нём термопар. Аналитическое определение температуры путём решения уравнения теплопроводности также проблематично вследствие сложности геометрии и разнообразия граничных условий на поверхности АВД. В этой связи температурные поля рассчитывали методом конечных элементов с использованием программного комплекса ANSYS [3].

Компьютерная модель шестипуансонного АВД включала  $\frac{1}{2}$  часть объема аппарата, полученную его рассечением в плоскости вертикальной симметрии (рис. 1).

Границные условия для задачи электропроводности: на торцевых поверхностях верхнего и нижнего пулансонов (B на рис. 1) задавали значения электрического потенциала таким образом, чтобы расчетная температура в т. H (см. рис. 2, a) составляла  $\sim 1400$  °C.

Границные условия для задачи

среды. Так, при температуре воздуха 5 °C температура поверхностей АВД составляла 30 °C, а при температуре воздуха 35 °C достигала 80 °C.

На торцах аппарата (B на рис. 1) задавали постоянную температуру:  $T = 20\text{--}40\text{ }^{\circ}\text{C}$ .

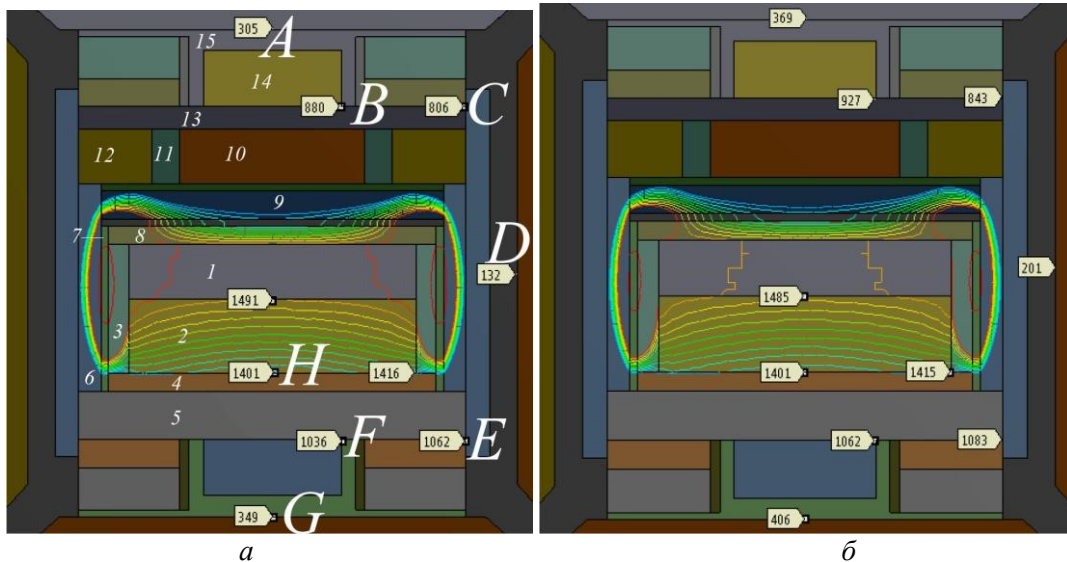


Рис. 2. Распределение температуры и её значения в точках камеры высокого давления:

*а* – при температуре воздуха 5 °C; *б* – при температуре воздуха 35 °C.

1 – источник углерода; 2 – сплав-растворитель; 3, 4, 6, 8, 10, 12, 14 – теплоизолирующие элементы; 5, 13 – тепло- и токоразводящие диски; 7, 11, 15 – токопроводы; 9 – композиционный нагреватель

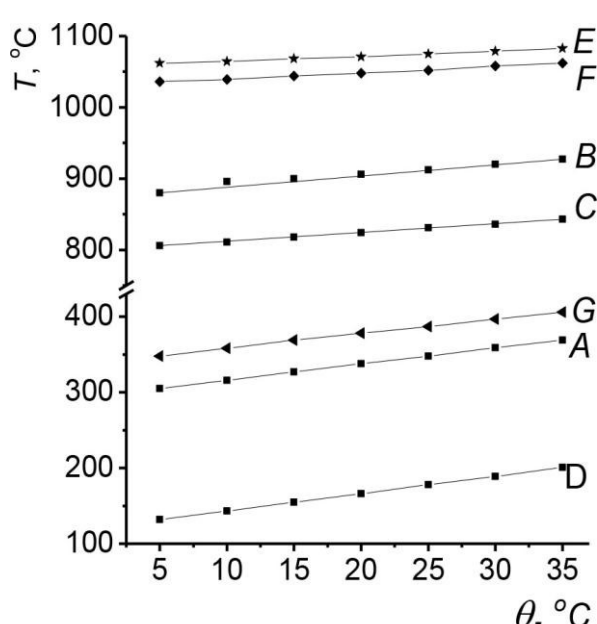


Рис. 3. Зависимость температуры в точках A–G камеры высокого давления АВД (см. рис. 2, *a*) от температуры воздуха

$\text{Вт}/(\text{м}^2 \cdot \text{°C})$ ,  $\alpha = 2440 \text{ Вт}/(\text{м}^2 \cdot \text{°C})$  в каналах охлаждения и боковых.

На участках внутренней водяной системы охлаждения (поверхности каналов С на рис. 1) задавали условие конвективного теплообмена с водой по закону Ньютона:  $h = \alpha(T - \Theta)$ , где  $h$  – плотность теплового потока,  $\alpha$  – коэффициент теплоотдачи;  $T$  – искомая температура;  $\Theta$  – температура окружающей среды. При этом  $\alpha$  рассчитывали по формуле [4]  $\alpha = 0,023\lambda\text{Re}^{0,8}\text{Pr}^{0,33}/D$ , где  $\lambda = 0,60 \text{ Вт}/(\text{м} \cdot \text{°C})$  – теплопроводность воды;  $\text{Re} = \rho V D / \mu$  – число Рейнольдса,  $\rho = 998,2 \text{ кг}/\text{м}^3$  – плотность воды,  $V$  – скорость воды,  $D = 2wh/(w+h)$  – эквивалентный диаметр поперечного сечения канала с водой;  $w = 0,007 \text{ м}$  – ширина поперечного сечения канала;  $h = 0,014 \text{ м}$  – высота поперечного сечения канала;  $\mu = 0,0010015 \text{ Па} \cdot \text{с}$  – динамический коэффициент вязкости воды;  $\text{Pr} = 6,9$  – число Прандтля [5].

Так как расход воды в системе охлаждения верхнего и нижнего пулансонов составляет 5,5 л/мин, боковых – 3,8 л/мин, при этом скорость воды  $V = Q/S$  (где  $Q$  – расход воды в канале;  $S$  – площадь поперечного сечения канала), коэффициент теплоотдачи  $\alpha = 3952$

Электро-, теплофизические свойства материалов конструкционных элементов АВД подробно описаны в [6, 7].

Из результатов анализа следует, что если температура воздуха изменяется от 5 до 35 °C, температура в точке *E* повышается на 70 °C, в точках *A* и *F* – примерно на 60 °C, в точках *B* и *C* – на 37–47 °C, в точках *D* и *E* – на 26–20 °C (рис. 3). При этом вертикальный перепад температуры в ростовом объеме уменьшится на 6 °C (рис. 4), а горизонтальный не изменится. Мощность нагревания уменьшается по линейному закону на 3 % (рис. 5).

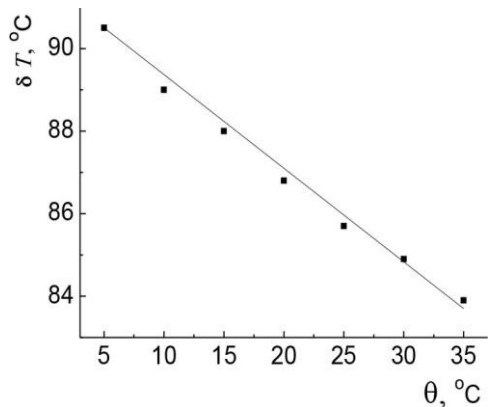


Рис. 4. Изменение вертикального перепада температуры в ростовом объеме в зависимости от температуры окружающей среды

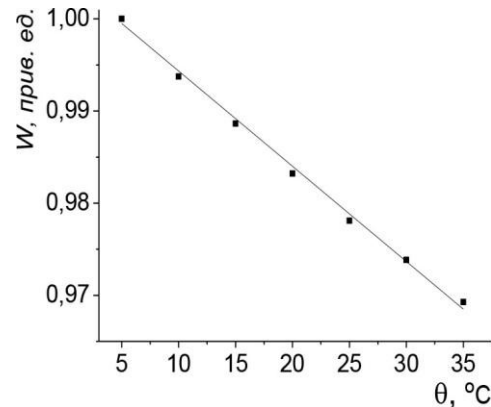


Рис. 5. Изменение мощности нагрева АВД в зависимости от температуры окружающей среды

Полученные результаты испытаны при выращивании монокристаллов алмаза методом температурного градиента с использованием прессовой установки CS-VII при усилии 27 МН, температуре 1400–1450 °C, давлении 5,7 ГПа и температуре окружающей среды 15–35 °C. Установлено, что наиболее оптимальные результаты относительно качества выращенных кристаллов получены при температуре окружающей среды не более 25 °C. При дальнейшем повышении температуры воздуха рост кристаллов на затравках прекращается. При этом затравочные кристаллы растворяются в сплаве растворителе до насыщения сплава углеродом. По нашему мнению это связано с тем, что такое повышение температуры воздуха приводит к изменению распределения тепловых полей в камере высокого давления что и подтверждается в расчётах.

Проведено комп'ютерне моделювання розподілу температури в шестипуансонному АВТ і встановлено вплив на нього температури навколошнього середовища. Отримані дані показують, що зміна температури повітря від 5 до 35 °C змінює температуру в окремих точках камери високого тиску на 20–70 °C, а вертикальний перепад температури в ростовім обсязі змінюється на 6 °C. Ці результати пройшли експериментальну перевірку і дозволяють коригувати програму нагріву ростового обсягу з урахуванням температури навколошнього середовища.

**Ключові слова:** монокристал, алмаз, апарат високого тиску, шестипуансонний апарат, температура, комп'ютерне моделювання.

The computer simulation of the temperature distribution in the six-punches AHP and found influence on him ambient temperature. These data indicate that changes in the air temperature from 5 to 35 °C changes the temperature at separate points high pressure chamber at 20–70 °C, while the vertical temperature gradient in the growth volume is changed to 6 °C. These results have been pilot-tested and allow you to adjust the heating program volume growth, taking into account the ambient temperature.

**Key words:** single crystal diamond, high-pressure, the six-punches machine, temperature, computer simulation.

### Литература

1. Компьютерное моделирование условий кристаллизации алмаза в аппаратах высокого давления большого объема / Т.С. Панасюк, А.А. Лещук, В.В. Лысаковский и др. // Породоразрушающий и металлообрабатывающий инструмент – техника и технология его

- изготовления и применения: Сб. науч. тр. – К.: Ин-т сверхтв. материалов им. В.Н.Бакуля НАН Украины, 2013. – Вып. 16. – С. 251–257.
2. Кинетика роста монокристаллов алмаза в шестипуансонном аппарате высокого давления / В.В. Лысаковский, Н.В. Новиков, В.В. Нагорный и др. // там же, 2014. – Вып. 17. – С. 209–212.
  3. Бруяка В.А. Инженерный анализ в Ansys Workbench: Уч. пособ. Ч. 1 – Самар. гос. техн. ун-т, 2008. – 271с.
  4. Крейт Ф., Блэк У. Основы теплопередачи. – М.: Мир, 1983. – 512 с.
  5. Варграфник Н. Б. Справочник по теплофизическим свойствам газов и жидкостей. – М.: Наука, 1972. – 720 с.
  6. Свойства конструкционных материалов на основе углерода : Справ. / Под ред. В.П.Соседова. – М.: Металлургия, 1975. – 336 с.
  7. Теплопроводность твёрдых тел: Справ. / Под ред. В.С. Охотина. – М.: Энергоатомиздат, 1984. – 320 с.

Поступила 23.06.15

УДК 004.65:62-987:025.4.06

**К. З. Гордашник**, канд. техн. наук; **В. Н. Колодницкий**, канд. физ.-мат. наук; **Е. М. Чистяков**,  
**В. Н. Кулаковский**, кандидаты технических наук; **Т. А. Сороченко**, **М. В. Дубенко**

*Институт сверхтвердых материалов им. В. Н. Бакуля НАН Украины, г. Киев*

### **АППАРАТЫ ВЫСОКОГО ДАВЛЕНИЯ СТАТИЧЕСКОГО СИНТЕЗА КАК МНОГОУРОВНЕВАЯ ПОДСИСТЕМА ПРЕДМЕТНОЙ ОБЛАСТИ «СТМ», РАЗРАБОТАННАЯ НА ОСНОВЕ ОНТОЛОГО-ТЕЗАУРУСНОГО АНАЛИЗА**

*На основе онтолого-тезаурусного анализа разработана многоуровневая подсистема предметной области «Сверхтвёрдые материалы», в которой представлены типы и элементы конструкций аппаратов высокого давления, используемые при статическом синтезе (HPHT) сверхтвёрдых материалов.*

**Ключевые слова:** онтология, тезаурус, интеллектуальный анализ, база знаний, сверхтвёрдые материалы, аппараты высокого давления, статический синтез.

В настоящее время наиболее перспективной научно-технической информацией практически во всех предметных областях являются онтологии и онтолого-тезаурусные системы [1; 2].

Онтологии – модели данных с двумя специфическими особенностями. Во-первых, онтологии строятся на основе совместного понимания специалистами предметной области. Такое понимание представляется соглашением экспертов относительно понятий и отношений в предметной области. Во-вторых, онтологии используют способ представления, который может обрабатываться компьютерными программами (т. е. записываются с использованием формальных языков), что позволяет компьютерам работать с онтологиями. К таким действиям относятся передача онтологий между компьютерами, хранение онтологий, проверка согласованности онтологий, формирование логических выводов на основе и с помощью онтологий.

Модель онтологии – это система логических соотношений, каждое из которых имеет смысловое содержание, с которым согласно большинству экспертов (специалистов предметной области), а вся система – суть представления знаний предметной области.

Основные концепции исследования онтологии предметной области следующие:

– при построении концептуальной модели используют предметные знания в виде набора понятий и связывающих их отношений; каждое понятие имеет имя и атрибуты (неотъемлемые свойства объекта или явления, в отличие от случайных преходящих его состояний), каждый атрибут – значение;